

INSTITUTUL DE GEOLOGIE ȘI GEOFIZICĂ

DĂRI DE SEAMĂ

A L E
Ș E D I N Ț E L O R

VOL. LXIV
(1976—1977)

3. PALEONTOLOGIE

E X T R A S

B U C U R E Ș T I
1 9 7 8

3. PALEONTOLOGIE

PALEOZOOLOGIE

OBSERVATIONS SUR LES ESPÈCES D'AMMONITES DE LA RÉGION DE SVINIŢA (BANAT) DÉCRITES PAR TIETZE (1872) ET UHLIG (1883)¹

PAR

EMIL AVRAM²

Remarks on Tietze's 1872 and Uhlig's 1883 Ammonite Species from the Sviniţa Area (Banat). A new and more thorough gathering of paleontological material from the Lower Cretaceous deposits in the Sviniţa area allowed to give a more complete description accompanied by more precise data concerning the taxonomic position and the stratigraphic occurrence of Cephalopod species defined by Tietze and Uhlig on the basis of the material collected from the above locality. All these species, namely *Melchiorites melchioris* (Tietze), *Pseudohaploceras tachthaliae* (Tietze), *P. portaeferreae* (Tietze), *Costidiscus grebenianus* (Tietze), *Silesites seranonts trajani* (Tietze), *Barremites strettostoma* (Uhlig) were found within the Upper Barremian deposits, mostly in their upper part. As for the taxonomic data there are to be emphasized the appartenance of the species *Am. Tachthaliae* and *Am. portaeferreae* Tietze to the genus *Pseudohaploceras* as well as the uncertain generic position of the species? *Barremites strettostoma* (Uhlig), which may be solved only within a more complete definition of the genus *Barremites*.

Les alentours de la région de Sviniţa constituent l'une des deux régions les plus riches en fossiles au niveau du Crétacé inférieur de la Roumanie et l'une des régions les plus riches en fossiles à ce niveau du territoire carpatique.

De cette région nous avons récolté ces dernières années un abondant matériel paléontologique qui comporte, entre autres, les espèces définies par Tietze (1872) et par Uhlig (1883) à partir des fossiles que le premier de ces auteurs en a prélevés. Aussi une présentation plus complète de ces espèces, dont quelques unes ont été interprétées de manière erronée dans la littérature paléontologique, à cause de leur description initiale trop sommaire et de leur figuration défectueuse, est-elle possible.

¹ Reçu le 27 Avril 1977, accepté le 29 Avril 1977, présenté à la séance du 10 Juin 1977.

² Institutul de Geologie şi Geofizică, str. Caransebeş nr. 1, Bucureşti, 32.

Nous mentionnons que dans la seule étude paléontologique sur la faune éocénacée de Svinița, effectuée par Tietze en 1872 ont été présentées comme gargasiennes plusieurs espèces d'ammonites, dont quelques unes des espèces nouvelles : *Am. Melchioris* Tietze, *Am. Tachthaliae* Tietze, *Am. portae-ferreae* Tietze, *Am. Grebenianus* Tietze, *Am. Trajani* Tietze. Le matériel paléontologique publié par Tietze a été ultérieurement révisé par Uhlig (1883, p. 145—148) et par Kilian (1907—1913, p. 252—259 et 308) qui ont reconsidéré comme Barrémien l'âge des dépôts fossilifères de Svinița. A l'avis de Uhlig, *Am. quadrisulcatus* Tietze non d'Orb. = *Lytoceras crebrisulcatus* Uhlig, *Am. bicurvatus* Tietze non Mich. = *Haploceras strettostoma* Uhlig, alors que *Am. Trajani* Tietze est probablement identique à *Silesites seranonis* d'Orb. Kilian a révisé la faune publiée par Tietze de la manière suivante : *Am. Trajani* Tietze = *Silesites seranonis* d'Orb., *Am. Tachthaliae* Tietze = *Desmoceras* ex gr. *D. subdifficilis* Kar. (p. 308) ou *Desmoceras* ex gr. *D. Kiliani* Traeger — *D. subdifficilis* Kar. (p. 257); *Am. striatisulcatus* Tietze non d'Orb. = *Macroscephites Yvani* var. *striatisulcata* d'Orb., *Am. bicurvatus* Tietze non Mich. = *Saynella Grossouvrei* Nickl. ou *Desmoceras strettostoma* Uhlig, *Am. Melchioris* Tietze = *Desmoceras Melchioris* Tietze, *Am. strangulatus* Tietze non d'Orb. = *Lytoceras crebrisulcatus* Uhlig, *Am. portae-ferreae* Tietze = *Uhligella* dont l'aperture rappelle l'espèce *Uhligella impressa* d'Orb.

Les dépôts éocénacés des alentours de Svinița reviennent à deux formations (Avram, 1976) notamment, de bas en haut :

(1) Formation de Murguceva (d'âge Tithonique supérieur — Hauterivien), constituée de calcaires gris clair et blanchâtre, fins, à bandes et lentilles siliceuses noires.

(2) Formation de Svinița (= couches de Svinița — Răileanu, 1953, 1960) constituée à la partie inférieure par des calcaires sublithographiques gris en alternance avec des calcaires blancs (rappelant ceux du Néocomien inférieur, mais sans accidents siliceux) et par des calcaires marnés sombres (sous-formation de Piriul Morilor — Avram, 1976, d'âge Hauterivien supérieur-Barrémien inférieur); sa partie supérieure est formée par des marnocalcaires et des marno-argiles sombres, abondant en fossiles (sous-formation de Temeneacia — Avram, 1976, d'âge Barrémien inférieur-Bédoulien).

L'intervalle de l'Hauterivien supérieur-Bédoulien, dont on a prélevé la plupart des fossiles, comporte plusieurs biozones d'ammonites (Avram, 1976) notamment : à la partie supérieure de la formation de Murguceva et à la partie basale de la sous-formation de Piriul Morilor — la biozone à *Crioceratites duvali* (1); au sein de la sous-formation de Piriul Morilor — la biozone à *Acrioceras seringei* et *Paraspinoceras jordani* (2), la biozone à *Paraspinoceras* et *Pseudothurmannia* (3) suivie d'un intervalle dépourvu de fossiles propres à définir une biozone (4); au sein de la sous-formation de Temeneacia — la biozone à *Pulchellia* ex gr. *P. compressissima*, *Spitidiscus* et *Holcodiscus* (5), de nouveau un intervalle dépourvu de fossiles

caractéristiques (6), la biozone à *Imerites* et *Eristavia* (7), la biozone à „*Crioceratites*” gr. *barremense-orbignyi* (8) et la biozone à *Pseudohaploceras matheroni* et *Deshayesites weissii* (9).

Presque toute la faune décrite par Tietze a été prélevée des biozones 7 et 8, de l'aires comprise entre l'ancienne église du village de Svinița et le ruisseau Țiganilor.

Melchiorites melchioris (Tietze)

fig. 1 et pl. I, fig. 1, 2, 4–7 (holotype-fig. 1 a-d)

v 1872 *Ammonites Melchioris* Tietze, p. 135, pl. IX, fig. 9, 10

pars 1883 *Haploceras Melchioris* Tietze, Uhlig, p. 232, pl. XVII, fig. 5, non fig. 12

? 1898 *Puzostia Melchioris* Tietze, Simionescu, p. 73, pl. IV, fig. 2

pars 1907 *Puzostia Melchioris* Tietze, Karakasch, p. 74, pl. VII, fig. 4, 8, non pl. VIII, fig. 6, pl. XXIV, fig. 23

pars 1913 *Desmoceras Melchioris* Tietze, Killian, p. 335, pl. 12, fig. 5, non pl. 10, fig. 2 [= *M. emerici* (Rasp.)]

? 1920 *Puzostia Melchioris* Tietze, Fallot in Killian, p. 254, fig. 16, 18, 19, pl. III, fig. 5

non 1968 *Melchiorites melchioris* (Tietze), Wiedmann & Dieni, p. 109, pl. X, fig. 4

1972 *Melchiorites* cf. *melchioris* (Tietze), Vašiček, p. 74, pl. XII, fig. 5

Melchiorites melchioris (Tietze), Vašiček, pl. XVI, fig. 1–3 (type refiguré)

Lectotype (établi par Vašiček, 1972): *Ammonites Melchioris* Tietze, 1872, pl. IX, fig. 9, collection de Tietze, Sammlung der Geologische Bundesanstalt, Vienne.

Locus typicus: Svinița, Banat.

Stratum typicum: Barrémien moyen-supérieur (formation de Svinița, sous-formation de Temeneacia).

Description du lectotype. Exemplaire de taille moyenne, entièrement cloisonné. Les tours de spire s'embrassent sur un tiers de leur hauteur, entourant l'ombilic moyennement ouvert. Leur section est ovalaire à flancs subparallèles, légèrement convexes, région ventrale largement et régulièrement arrondie et bord ombilical angulaire, faiblement arrondi sur les tours internes et caréné sur le dernier tour.

Ornementation faite de 8 constrictiones sur un tour complet, apparaissant depuis le diamètre de 28 mm, et ayant seulement le bord antérieur bien marqué à cause de son profil asymétrique. Elles partent légèrement proverses depuis le bord ombilical et traversent les flancs suivant un tracé rectiligne (seules les deux premières constrictiones sont vaguement flexueuses). Sur le quart externe des flancs elles sont arquées, si bien qu'elle dessinent, sur le bord externe, un sinus à convexité dirigée vers l'avant.

La cloison (fig. 1), montrant le premier lobe latéral légèrement asymétrique et la première selle latérale haute, est bien proche de celle figurée par Fallot (in Killian, 1920) d'après un exemplaire provenant de l'Aptien de Cheiron, France.

Les dimensions de la coquille changent avec l'âge, l'ombilic s'élargissant et les flancs gagnant légèrement en hauteur. L'apparition des constrictions provoque aussi la répétition de quelques unes des dimensions à des diamètres différents :

\varnothing (mm)	O	H	E
34,6	9,9(0,286)	13,4(0,387)	10,2(0,294)
36,5	11,1(0,30)	14,2(0,389)	11,4(0,31)
38,2	12,1(0,316)	14,9(0,370)	12 (0,314)
40,2	12,9(0,32)	15,6(0,385)	12 (0,298)
41,7	13,7(0,328)	16,1(0,386)	12,9(0,30)
43	14,3(0,332)	17 (0,395)	12,9(0,30)

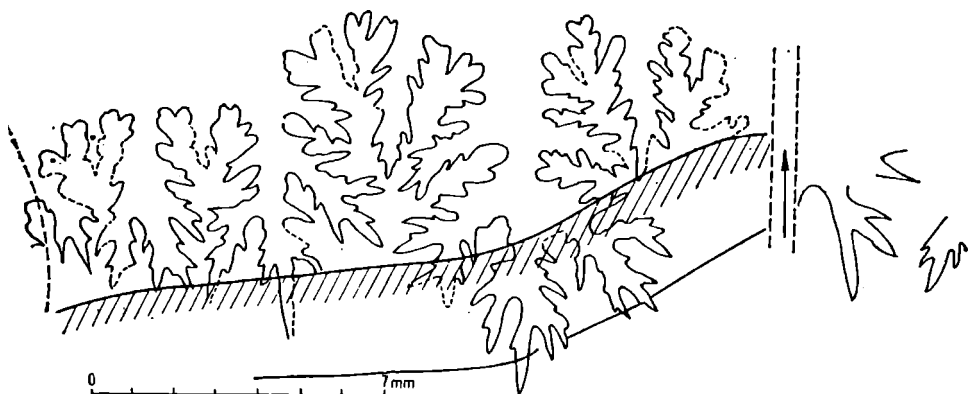


Fig. 1. — Cloison du lectotype de l'espèce *Melchiorites melchioris* (Tietze) au diamètre de 41,5 mm.

Observations. À Svinița *Melchiorites melchioris* surabonde à la partie supérieure du Barrémien (biozone à *Imerites* et *Eristavia* et celle à „*Crioceratites*” gr. *barremense-orbigny*). La variabilité de l'espèce se manifeste par le nombre inconstant des constrictions (généralement inférieur à celui du lectotype) et par leur apparition plus tôt ou plus tard. Tenant compte des caractères constants, notamment forme de constrictions et forme de la section des tours, les exemplaires français considérés typiques jusqu'à présent (Fallot in Kilian, 1920; Wright, 1957) ne sont probablement qu'une variété aptienne de l'espèce.

Les dimensions des topotypes figurés dans la planche I sont les suivantes :

	\varnothing mm	O	H	E
fig. 5	33,6	8,1(0,24)	14,5(0,43)	10,9(0,32)
fig. 4	37	10 (0,27)	15,4(0,41)	11,7(0,31)
fig. 6	47	13,9(0,29)	19,6(0,41)	15 (0,31)

L'exemplaire de la collection de Tietze, dont la cloison a été reproduite par Uhlig (1883) dans la planche XVII, fig. 12 (ici fig. 2 et pl. I, fig. 3) diffère du lectotype vu la hauteur plus grande des flancs (pour les diamètres de 24,2 mm—31,2 mm, $h = 0,479 - 0,442$), l'ombilic plus étroit ($o = 0,219 - 0,246$) et tout spécialement vu ses constrictions

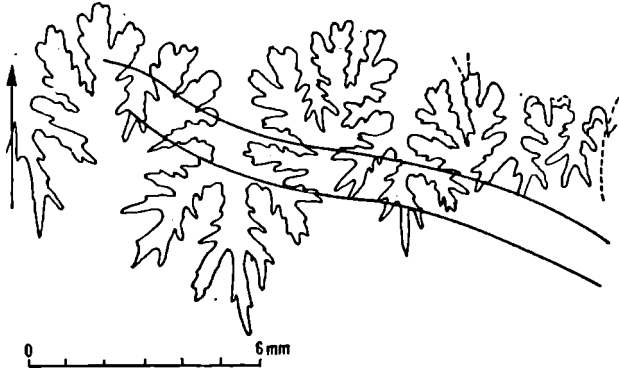


Fig. 2. — Cloison de l'exemplaire de *Melchiorites* aff. *sequensae* (C o q.) figuré dans la pl. I, fig. 3 (= *Haploceras Melchioris* Tietze in Uhlig, 1883, pl XVII, fig. 12).

obliques et flexueuses sur les flancs. Il approche davantage de l'espèce *Melchiorites sequensae* (C o q.). Parmi les exemplaires figurés dans la littérature, outre le syntype présenté par Tietze dans la pl. IX, fig. 10 (ici pl. I, fig. 2) qui revient à coup sûr à l'espèce mise en discussion, ceux de Simionescu (1898) et probablement ceux de Karakasch (1907, pl. VII, fig. 8) sont tout particulièrement comparables au spécimen ci-dessus.

L'exemplaire figuré par Wiedmann & Dieni (1968, pl. X, fig. 4) approche de la variété aptienne *M. melchioris alpinus* (F al lot) vu la forme des constrictions et les dimensions de la coquille.

Pseudohaploceras tachthaliae (Tietze)

fig. 3 et pl. II, fig. 1–6 (holotype = fig. 1 a–d)

† 1868 *Ammonites Austeni* Sharpe, Schloembach, p. 465, pl. XI, fig. 3 a–c

✓ 1872 *Ammonites Tachthaliae* Tietze, p. 136, pl. IX, fig. 3

1883 *Haploceras Tachthaliae* Tietze, Uhlig, p. 155

1900 *Haploceras Tachthaliae* Tietze; Simionescu, p. 34

Holotype: *Ammonites Tachthaliae* Tietze 1872, pl. IX, fig. 3; collection de Tietze, Sammlung der Geologische Bundesanstalt, Vienne.

Locus typicus: Svinița, Banat.

Stratum typicum: Barrémien supérieur (formation de Svinița, sous-formation de Temeneacia).

Matériel : 30 exemplaires, dont 20 représentent des noyaux pyriteux de dimensions variant de 10 à 40 mm.

L'espèce *Pseudohaploceras tachthaliae* (Tietze) est très mal connue dans la littérature à cause de la figuration initiale défectueuse de l'exemplaire type; elle n'a été citée que lors des quelques tentatives de révision du matériel paléontologique de Tietze signalées dans l'introduction de cette note.

De nouveaux prélèvements de matériel du Barrémien supérieur de Svinița comportant de nombreux exemplaires de cette espèce nous ont permis d'établir son appartenance générale et aussi sa variabilité intraspécifique.

Description de l'holotype. Noyau pyriteux constitué par des tours relativement épais à section subtrapézoïdale élevée, des flancs plats, légèrement convexes, le bord ombilical et celui externe bien marqués, dont le premier s'incurve plus rapidement vers la paroi ombilicale, elle abrupte; région siphonale légèrement aplatie.

Le tour externe montre 10 constriction proverses, sigmoïdes, qui s'infléchissent vers l'arrière en dedans de la moitié des flancs et de nouveau vers l'avant sur le tiers externe des flancs; ainsi sur la région externe elles dessinent un sinus dont la convexité est dirigée vers l'aperture. Sur la région ventrale elles sont précédées d'un bourrelet. Des côtes fines sigmoïdes couvrent les espaces d'entre les constriction; elles sont plus saillantes sur la région ventrale de la coquille et s'effacent rapidement sur la partie supérieure des flancs.

Dimensions de l'holotype :

17,6 mm	3,8(0,216)	7,7(0,436)	6,3(0,358)
18,9 mm	4,1(0,217)	8,3(0,439)	6,8(0,359)
20,5 mm	4,9(0,239)	9 (0,439)	7,4(0,361)
23 mm	5,9(0,256)	10 (0,434)	8,2(0,354)

La cloison approche de celle de *Pseudohaploceras liptoviense* (Zousschner) Uhlig (in Uhlig, 1883, pl. XVII, fig. 16) vu la faible asymétrie du premier lobe latéral, s'en écartant toutefois vu la hauteur presque égale de la selle externe et la première selle latérale (fig. 3).

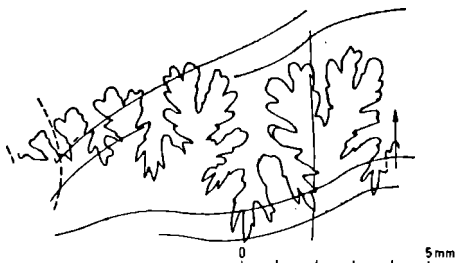


Fig. 3. — Cloison de l'holotype de l'espèce *Pseudohaploceras tachthaliae* (Tietze) au diamètre de 17,4 mm.

Observations. Les exemplaires pyriteux de Svinița ont été prélevés du Barrémien supérieur des couches à *Imerites* et *Eristavia* et immédiatement d'en dessous de ces couches. Ils laissent voir une variabilité assez

importante par rapport à l'holotype en ce qui concerne le nombre des constriction, la largeur de l'ombilic, l'épaisseur et la hauteur des tours de spire.

Aucun des exemplaires récoltés jusqu'à présent de Svinița ne fournit des données ni sur la longueur de la chambre d'habitation ni sur la forme de l'aperture.

Dimensions des topotypes figurés sur la pl. II :

fig. 3	24 mm	5,6(0,23)	11,4(0,47)	8,8(0,36)
fig. 2	35,4 mm	9,5(0,27)	15,5(0,43)	12,3(0,34)
fig. 5	41,4 mm	11,6(0,28)	17,2(0,44)	15,3(0,37)
fig. 4	54,4 mm	14 (0,25)	24,4(0,44)	18 (0,33)

Les spécimens plus grands conservent les constriction flexueuses (12—14 sur le dernier tour) qui dans la plupart des cas contournent les bourrelets existant sur la région siphonale.

À en juger d'après le plus grand exemplaire pyriteux et d'après les fragments de tour encore plus grands dont nous disposons (pl. II, fig. 6) le diamètre maximum des spécimens de Svinița touche 8—10 cm.

Les exemplaires de grande taille de *Pseudohaploceras tachthaliae* approchent de *P. liptoviense* (Z e u s c h n e r) U h l i g tout en s'écartant par la disposition de beaucoup plus régulière de l'ornementation dans tous les stades de croissance. Il y a lieu de mentionner que l'exemplaire de *Pseudohaploceras* figuré sous le nom de *Ammonites Austeni* S h a r p e par S c h l o e m b a c h (1868) et attribué à l'espèce *P. liptoviense* par V a š i č e k (1972) est plus proche de l'espèce de T i e t z e vu les dimensions (au diamètre de 68 mm $o = 0,26$, $h = 0,41$ et $e = 0,39$), l'ornementation très régulière des tours jeunes et la section trapézoïdale.

Pseudohaploceras portaeferreae (T i e t z e)

fig. 4 et pl. II, fig. 7—8 (holotype fig. 7 a—d)

v 1872 *Ammonites portae-ferreae* T i e t z e, p. 136, pl. VIII, fig. 10

1883 *Haploceras portae-ferreae* T i e t z e, U h l i g, p. 155

1900 *Haploceras portae-ferreae* T i e t z e, S i m i o n e s c u, p. 34

Holotype : *Ammonites portae-ferreae* T i e t z e, 1872, pl. VIII, fig. 10 ; collection de T i e t z e, Sammlung der Geologische Bundesanstalt, Vienne.

Locus typicus : Svinița, Banat.

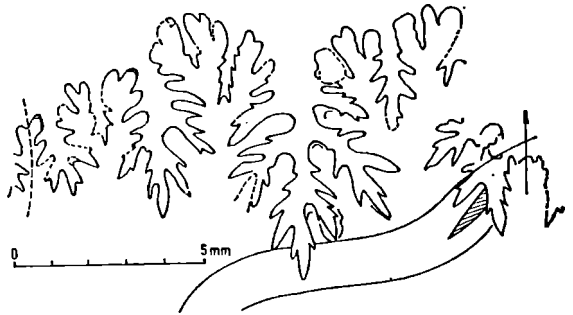
Stratum typicum : Barrémien supérieur (formation de Svinița, sous-formation de Temeneacia).

Matériel : deux spécimens (l'holotype et un topotype de grande taille, dont le dernier incomplet, mais laissant voir l'ornementation jusqu'au diamètre de 62 mm).

Description de l'holotype. Exemplaire de petite taille, légèrement écrasé au début du dernier tour.

En vue frontale il est difficile d'apprécier la forme de la section des tours car la partie finale du dernier tour est brisée. Depuis un moule sectionné (fig. 7 d) elle est trapézoïdale haute, avec le bord ombilical et celui externe arrondis mais bien marqués, la parois ombilicale haute et très abrupte, verticale dans sa moitié inférieure, les flancs plats, légèrement convexes dans le tiers jeune du dernier tour. La région ventrale est arrondie jusqu'au diamètre d'environ 20 mm et ensuite progressivement aplatie. L'involution atteint 1/2.

Fig. 4. — Cloison de l'holotype de l'espèce *Pseudohaploceras portaeferreae* (Tietze), au diamètre de 28 mm.



L'ornementation est faite de constrictions peu profondes, très proverses, fortement inclinées en avant sur le quart externe des flancs où elles sont accompagnées par un bourrelet qui les précède. Le dernier tour montre 15—16 constrictions qui partent du bord ombilical et s'effacent légèrement à la mi-hauteur des flancs. La région ventrale est munie, entre les constrictions, de faibles côtés qui ne s'observent que çà et là à cause du mauvais état de conservation de la coquille.

Dimensions de l'holotype :

26 mm	6,3(0,242)	11,7(0,450)	9,1(0,350)
27,8 mm	6,9(0,248)	12,2(0,439)	9,6(0,347)
29,8 mm	7,4(0,240)	13,1(0,439)	10,1(0,339)

La cloison (fig. 4) ne s'écarte de celle de l'espèce antérieure que par la longueur un peu plus grande du lobe siphonal.

Observations. *Pseudohaploceras portaeferreae* est une espèce relativement rare. Le seul exemplaire dont nous disposons en dehors de l'holotype a été récolté de la partie moyenne du Barrémien supérieur, subzone à *Imerites* et *Eristavia*. Ses dimensions sont :

61,6 mm	14,5(0,23)	31,5(0,51)	21(0,34)
---------	------------	------------	----------

La variabilité de l'espèce appréciée depuis ces deux exemplaires consiste dans la réduction progressive de l'épaisseur des tours et dans le changement de la forme des constrictions, qui maintiennent leur tracé flexueux mais deviennent plus larges et plus profondes et sont accompagnées d'un bourrelet disposé sur la moitié externe des flancs et sur la région ventrale le long de leur bord postérieur.

L'espèce *Pseudohaploceras portaeferreae* diffère de *P. tachthaliae* vu l'évolution plus lente de l'ornementation, la forme plus élevée de la section,

l'accroissement plus rapide des tours en hauteur et l'ombilic plus étroit. Toutefois ces deux espèces constituent ensemble un groupe assez à part par rapport aux autres espèces du genre vu l'évolution ontogénique, fait qui porte à présumer qu'elles pourraient représenter une paire dimorphe.

Costidiscus grebenianus (Tietze)

pl. IV, fig. 1, 2 (holotype fig. 1 a—d)

- pars 1872 *Ammonites Grebenianus* Tietze, p. 139, pl. VIII, fig. 8 a, b; non fig. 8 c (= *Costidiscus* ex gr. *C. recticostatus* d'Orb. — *C. olcostephanoides* Uhlig)
- 1883 *Lyoceras (Costidiscus) Grebenianum* Tietze, Uhlig, p. 198, pl. V, fig. 16, 17, pl. IX, fig. 1
- 1887 *Costidiscus Grebenianus* Tietze, Uhlig, p. 85
- 1889 *Costidiscus Grebenianus* Tietze, Haug, p. 224
- 1907 *Costidiscus Grebenianus* Tietze, Killian, p. 249, 253
- 1920 *Costidiscus Grebenianus* Tietze, Gignoux in Killian, 1920, p. 117
- 1938 *Costidiscus Grebenianus* Tietze, Roman, p. 39
- 1967 *Costidiscus grebenianus* Tietze, Baccelle & Garavello, p. 134

Holotype : *Ammonites Grebenianus* Tietze, 1872, pl. VIII, fig. 8 a, b; collection de Tietze, Sammlung der Geologische Bundesanstalt, Vienne.

Locus typicus : Svinița, Banat.

Stratum typicum : Barrémien supérieur (formation de Svinița, sous-formation de Temeneacia).

Observations. La description de l'holotype et du seul exemplaire de plus grande taille que celui-ci figuré dans la littérature paléontologique ont été faites, d'une manière satisfaisante par Uhlig (1883). Aux caractères de l'espèce présentée par cet auteur on peut ajouter que le tracé des côtés est légèrement sinueux; que sur les tours jeunes les constrictions font complètement défaut et les côtes qui partent du bord ombilical alternent assez régulièrement avec celles qui partent des flancs; que les flancs, aplatis jusqu'au plus grand diamètre de l'holotype, sont parallèles si bien que la section des tours prend un contour rectangulaire.

La cloison, bien décrite et figurée par Uhlig (1883, pl. V, fig. 16, 17) justifie sa répartition au genre *Costidiscus*.

Dimensions de l'holotype :

26,1 mm	10,6(0,406)	8,7(0,333)	8,65(0,331)
27,7 mm	11,2(0,404)	9,3(0,335)	9,2(0,332)
29,4 mm	12 (0,408)	9,5(0,323)	9,1(0,309)
31,8 mm	13,7(0,432)	10,4(0,327)	9,6(0,302)
34 mm	14,8(0,435)	10,8(0,316)	9,9(0,291)

Le second syntype figuré par Tietze (ici pl. IV, fig. 3) ne revient pas à l'espèce *Costidiscus grebenianus*. Il s'agit d'un fragment d'un exemplaire plus grand de *Costidiscus* dont la section est légèrement déformée, qui se rallie probablement à l'espèce *C. olcostephanoides* Uhlig.

Silesites seranonis trajani (T i e t z e)

pl. IV, fig. 6, 7

pars 1872 *Ammonites Trajani* T i e t z e, p. 140, pl. IX, fig. 1; non pl. IX, fig. 2 (= *Silesites seranonis* d'O r b.).

? 1883 *Silesites Trajani* T i e t z e, U h l l g, p. 234, pl. XVIII, fig. 4, 7, 10, 11, 15

1890 *Silesites Seranonis* d'O r b i g n y, S a y n, p. 48, pl. 2, fig. 15

? 1921 *Silesites Trajani* T i e t z e, P e t c o v l c, p. 61, pl. I, fig. 14

T i e t z e a figuré dans sa planche IX deux exemplaires de *Silesites* qui se distinguent tout spécialement par la forme de la section, déprimée chez l'un d'entre eux (fig. 1) et de dimensions égales chez l'autre (fig. 2). Le dernier est plutôt rapportable à la sous-espèce type de *Silesites seranonis* (d'O r b.) malgré la présence de 5 constrictions sur le dernier tour (à en juger d'après le matériel abondant prélevé de Svinița ce caractère tient à coup sûr de la variabilité individuelle). Mais le premier de ces deux spécimens s'écarte sensiblement de l'exemplaire type de l'espèce, aussi sa répartition comme sous-espèce distincte est-elle préférable. Étant donné que l'exemplaire figuré par T i e t z e sur la pl. IX, fig. 1 s'est égaré (fide V a š i ě k, 1972 p. 81) on a dû choisir un néotype parmi les topotypes de cette sous-espèce.

Néotype : spécimen figuré dans la pl. IV, fig. 7 (I.G.-P 14116).

Locus typicus : Svinița, Banat.

Stratum typicum : Barrémien supérieur (formation de Svinița, sous-formation de Temeneacia).

Matériel : cinq exemplaires, dont trois représentent des noyaux pyriteux à diamètre inférieur à 1,5 cm; trois fragments de tours de dimensions plus grandes.

Description du néotype. Spécimen pyriteux de dimensions moyennes, constitué par quatre tours de spire qui s'embrassent sur 1/4 de leur hauteur et qui entourent un ombilic large et peu profond. Section des tours ovale déprimée, avec des flancs faiblement convexes, région ventrale largement arrondie, parois ombilicale oblique, légèrement concave dans l'avant dernier tour et la première moitié du dernier tour.

Un tour de spire montre 3—4 constrictions très profondes, avec les bords presque angulaires. Les constrictions traversent les flancs perpendiculairement à la suture ombilicale. Ensuite sur le quart externe de ceux-ci elles sont brusquement projetées en avant dessinant un V bien évident sur la région ventrale.

Entre les constrictions l'ornementation est formée par des côtes fines, légèrement incurvées, avec la concavité dirigée vers l'avant. L'épaississement des côtes avec l'âge, accompagné par l'élargissement des espaces intercostaux conduit à une faible augmentation de leur nombre, notamment de 15—16 entre deux constrictions successives sur le deuxième tour de spire jusqu'à 22—23 sur le dernier tour. Elles se développent depuis le bord de la paroi ombilicale jusqu'au bord externe où, sur le bord terminal du dernier tour, elles s'épaississent en un tubercule allongé. Dans cet endroit la région externe est couverte d'une costulation extrêmement fine,

à peine visible, qui précède le stade avec l'ornementation complète, observable seulement chez les exemplaires écrasés conservés dans les marnes et qui ne peuvent plus être attribués à coup sûr à la sous-espèce décrite ci-dessus.

Dimensions du néotype (en mm) : $\varnothing = 33$ (reconstitué) ; $O = 18$; $H = 9,8$; $E = 11,3$.

Observations. Les topotypes dont nous disposons sont globuleuses depuis le diamètre d'environ 10 mm et munis de 3—4 constrictions pro-verses sur un tour complet. Leur section est déprimée, le E/H aboutissant à 1,3. Ils proviennent du Barrémien supérieur, notamment de l'intervalle non-défini situé en dessous de la biozone à *Imerites* et *Eristavia* autant que de cette biozone même.

Parmi les exemplaire de *Silesites seranonis* figurés dans la littérature paléontologique il n'y a qu'un seul rapportable à coup sûr à la sous-espèce mise en discussion : l'exemplaire figuré par S a y n en 1890, pl. 2, fig. 15.

À cause de l'évolution identique de leur ornementation les exemplaires écrasés de *Silesites seranonis trajani* ne sauraient être distingués de ceux de la sous-espèce type. Étant donné que les deux sous-espèces sont localisées à Svinița dans des couches voisines et occupent approximativement le même intervalle stratigraphique il n'est pas exclu qu'elles constituassent les partenaires d'une paire dimorphe. Malheureusement le matériel dont nous disposons jusqu'à présent n'offre guère d'arguments suffisants en faveur de cette présomption.

‡*Barremites strettostoma* (U h l i g)

fig. 5 et pl. III, fig. 1—6 (lectotype, fig. 3a—d)

- v 1872 *Ammonites bicurvatus* Mich., Tietze, p. 137, pl. IX, fig. 5.
- v 1883 *Haploceras strettostoma* Uhlig, p. 225, pl. XVII, fig. 3, 4, 78, 715
- ?1890 *Desmoceras strettostoma* Uhlig, S a y n, p. 39, pl. 2, fig. 9.
- ?1894 *Desmoceras strettostoma* Uhlig, Nickles, p. 57, pl. 8, fig. 5 ; pl. 10, fig. 7
- 1897 *Desmoceras strettostoma* Uhlig, Sarasin, p. 786, fig. 14
- 1900 *Sonneratia strettostoma* Uhlig, Anthula, p. 121
- 1901 *Desmoceras strettostoma* Uhlig, Sarasin & Schondelmayer, p. 51
- pars 1907 *Desmoceras strettostoma* Uhlig, Karakasch, p. 72, pl. VI, fig. 5 ; non pl. V, fig. 3—5, non pl. XXIV, fig. 19
- ?1960 *Barremites strettostoma* Uhlig, Druzczyk & Kudrjavcev, p. 299, pl. XLIII, fig. 6.
- ?1964 *Barremites strettostoma* Uhlig, Fülöp, pl. X, fig. 1
- v 1966 *Barremites strettostoma* Uhlig, Breskovski, p. 91, pl. V, fig. 4 ; pl. VII, fig. 1
- non 1966 *Barremites strettostoma* Uhlig, Wiedmann, pl. I, fig. 5 a, b
- v 1967 *Pseudosaynella strettostoma strettostoma* (Uhlig), Dimitrova, p. 148, pl. LXXIV, fig. 2—4
- 1970 *Barremites strettostoma* Uhlig, Busnardo, fig. 6
- 1972 *Barremites strettostoma* Uhlig, Vašiček, p. 72, pl. XII, fig. 4 ; pl. XVI, fig. 5—8 (fig. 5—6 — type reffiguré)

Lectotype (établi par B r e s k o v s k i, 1966) : *Haploceras strettostoma* U h l i g, 1883, pl. XVII, fig. 3 a, b (refiguré par V a š i ě k, 1972); collection de T i e t z e, Sammlung der Geologische Bundesanstalt, Vienne.

Locus typicus : Svinița, Banat.

Stratum typicum : Barrémien supérieur (formation de Svinița, sous-formation de Temeneacia).

Observation. Une nouvelle description et figuration du lectotype ont été réalisées ces derniers temps par V a š i ě k (1972, pp. 72—73). Aux caractères du lectotype présentés par cet auteur ajoutons que la forme de sa section est lancéolée (voir fig. 3 d de la pl. III, grossie deux fois) avec la région ventrale étroite, presque plate, avec un faible étranglement dans le tiers externe de sa hauteur, et avec la paroi ombilicale oblique. L'étranglement de la section, correspondant à une faible dépression des flancs, s'observe depuis le diamètre de 15 mm et devient de plus en plus marqué avec l'âge. Une costulation falciforme est à peine observable chez le lectotype à cause du mauvais état de conservation de la coquille.

Cependant le syntype figuré par T i e t z e sous le nom de *Am. bicurvatus* M i c h. (ici pl. III, fig. 4 a—d) autant que quelques topotypes de dimensions moindres conservent l'ornementation faite de côtes falciformes, disposées à des distances inégales (environ 10 sur un demi tour, au diamètre de 12 mm); elles sont plus saillantes sur la dépression des flancs et disparaissent complètement sur la région ventrale. Les exemplaires de

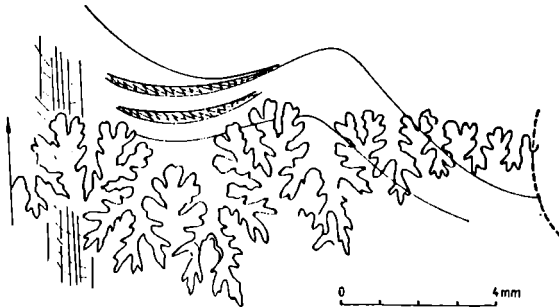


Fig. 5. — Cloison de l'espèce *Barremites strettostoma* (U h l i g) dessinée d'après l'exemplaires figuré par T i e t z e comme *Am. bicurvatus* M i c h. (=U h l i g, 1883, pl. XVII, fig. 4).

grande taille (pl. III, fig. 1, 2, 5, 6), dont les coquilles montrent les mêmes proportions, présentent une ornementation constituée de costules falciformes et de côtes, celles-ci plus saillantes seulement sur la moitié externe des flancs, où elles constituent des arcs sémi-lunaires en arrière des constriction; à 45 mm de diamètre on compte environ 12 côtes sur un tour de spire. Ainsi d'après les caractères mentionnés les spécimens en discussion sont-ils presque identiques à ceux figurés par D o u v i l l e (1916, pl. XII, fig. 7) sous le nom de *Desmoceras hemiptychum* K i l.

La cloison (in U h l i g, 1883, pl. XVII, fig. 4, ici fig. 5) très caractéristique par le premier lobe latéral large très dissymétrique et par les selles auxiliaires descendantes sont les arguments à partir desquels D i m i t r o v a (1967) a inclus cette espèce dans le genre *Pseudosaynella*.

En ce qui concerne les spécimens présentés dans la littérature paléontologique sous le nom de *Barremites* (ou de *Desmoceras*, etc.) *strettotoma*, ils sont attribuables à cette espèce seulement si la dépression des flancs est observable.

Il y a lieu de signaler que les spécimens de grande taille de l'espèce d'U h l i g montrent les mêmes proportions de la coquille que *Barremites difficilis* (d'O r b.), que la cloison du type de cette dernière espèce n'est pas connue jusqu'à présent et que les moules des spécimens type de *B. difficilis*, dont nous disposons grâce à l'amabilité de M. le Dr. J. S o r n a y du Musée de Sciences Naturelle de Paris, présentent l'ornementation et la forme de la section proches à s'identifier de celles de ? *Barremites strettotoma* de Svinița.

Ces données portent à considérer que le problème des rapports entre l'espèce ? *Barremites strettotoma* et *Barremites difficilis* est à la fois le problème de la définition correcte du genre *Barremites*. Si la cloison de l'espèce de d'O r b i g n y est identique à celle de l'espèce d'U h l i g on doit reviser le contenu spécifique du genre *Barremites* dans son ensemble.

En même temps le matériel de Svinița de l'espèce ? *B. strettotoma* pose le problème de l'attribution à cette espèce de quelques exemplaires existant dans la littérature sous le nom de *B. hemiptychus* K i l. (D o u v i l l é, 1916) ou de *B. nuieriensis* B r e s k o v s k i (1966, pl. VIII, fig. 3, 4).

?*Barremites strettotoma* apparaît à Svinița dans l'ensemble de l'intervalle du Barrémien supérieur.

Protetragonites crebrisulcatus (U h l i g)

pl. IV, fig. 4, 5

- 1872 *Ammonites quadrisulcatus* d'Orbigny, Tietze, p. 138, pl. IX, fig. 12
 ?1872 *Ammonites strangulatus* d'Orbigny, idem, p. 137, pl. IX, fig. 11
 1883 *Lyloceras crebrisulcatum* Uhlig, p. 191, pl. V, fig. 8-10
 1888 *Lyloceras crebrisulcatum* Uhlig, p. 82
 1889 *Lyloceras crebrisulcatum* Uhlig, Haug, p. 197
 1890 *Lyloceras crebrisulcatum* Uhlig, Sayn, p. 14
 1898 *Lyloceras crebrisulcatum* Uhlig, Simionescu p. 117
 ?1900 *Lyloceras crebrisulcatum* Uhlig, Anthula, p. 98, pl. VI, fig. 2
 1907 *Lyloceras auctum* Trathsch., Karakasch, p. 48, pl. XX, fig. 18; pl. XXII, fig. 30; pl. XXIV, fig. 7.
 1920 *Lyloceras crebrisulcatum* Uhlig, Gignoux in Killian, p. 110.
 1933 *Tetragonites* cf. *crebrisulcatus* Uhlig, Rouchadze, p. 178, pl. I, fig. 4.
 non 1956 *Protetragonites crebrisulcatus* Uhlig, Druzczic, p. 93, pl. V, fig. 16, 17
 1957 *Hemitetragonites crebrisulcatus* (Uhlig), Wright, p. L 200, fig. 229-3

- non 1960 *Protetragonites crebrisulcatus* Uhlig, Druzczić & Kudrjavcev. p. 93, pl. VIII, fig. 1
- 1962 *Protetragonites crebrisulcatus* Uhlig, Wiedmann, p. 19, pl. 1, fig. 3.; pl. 3, fig. 2, 3
- 1972 *Protetragonites crebrisulcatus* Uhlig, Vašiček, p. 40, pl. III, fig. 5; pl. XV, fig. 1, 2 (type refiguré)

Holotype : *Lytoceras crebrisulcatum* Uhlig, 1883, pl. V, fig. 8.
Locus typicus : Hradište, Tchécoslovaquie.

Stratum typicum : Barrémien.

La description détaillée de cette espèce réalisée par Uhlig (1883) et révisée par Vašiček (1972) n'exige pas d'être complétée. Étant donné que pour caractériser son espèce Uhlig a utilisé aussi du matériel provenant de Svinița (1883, pl. V, fig. 9, 10) nous avons considéré opportun de préciser que dans cette dernière localité l'espèce a été récoltée de l'ensemble du Barrémien et des premières couches de l'Aptien, les plus beaux exemplaires pyriteux provenant du Barrémien supérieur.

BIBLIOGRAPHIE

- Anthula D. J. (1900) Ueber die Kreidefossilien des Kaukasus — *Beitr. Paläont. Geol. Österr.-Ung.*, 12(1899) 55—159. Wien, Leipzig.
- Avram E. (1976) La succession des dépôts tithoniques supérieurs et crétacés inférieurs de la région de Svinița (Banat). *D.S. Inst. Geol. Geof. LXII* (1974—1975), 4, 53—71. București.
- Breskowski S. (1966) Blostratigrafiia na barrema lujno ot s. Brestak, Varnensko. *Trud v. geol. Bŭlgaria, paleont.*, 8, 71—121. Sofia.
- Busnardo R. (1970) Torcapella, nouveau genre d'ammonites du Barremien inférieur. *Doc. Lab. Géol. Fac. Sc. Lyon*, 37, 85—130. Lyon.
- Dimitrova N. (1967) Les fossiles de Bulgarie, IV Crétacé inférieur, Céphalopoda (Nautiloidea et Ammonoidea), 236 p. Sofia.
- Douvillé M. H. (1916) Les terrains secondaires dans le Massif du Moghara à l'Est de l'Isthme de Suez. *Mém. Acad. Sci. de l'Inst. de France* (2) 54, 184 p. Paris.
- Druzczić V. V. (1956) Nijnemelovle Ammoniti Krima i Severnogo Kavkaza. (Litotetridi, Tetragonitidi i Filotetridi). 147 p. Moskva.
- Kudrjavcev M. P. (1960) Atlas nijnemelovoi faune Severnogo Kavkaza i Krima. 696 p. Mosca.
- Fülöp J. (1964) A Bakonyhegység also-kreda (Berriazl-Apte) képződményei. *Geologica Hungarica (Geol.)* 13, 194 p. Budapesta.
- Haug E. (1889) Beitrag zur Kenntnis der oberneokomen Ammonitenfauna der Puezalpe bei Corvara (Südtirol). *Beitr. Paläont. Österr.-Ung. Oriens* VII, 193—231. Wien.
- Karakasch N. I. (1907) Nijnemelovalia otlojenila Krima i ih fauna. *Trud S. Petersb. obs. Estestvoisp., geol. mineral.* 32, 5, 482 p. St. Petersburg.
- Kilian W. (1907—1913) Unterkreide in südöstlichen Frankreich. In Fritz Frech *Lethaea Geognostica Teil II* bd. 3. 1907—168 p.; 1910—p. 169—288; 1913—p. 289—398. Stuttgart.

- Gignoux M., Chaput E., Sayn G., Fallot P. (1920) Contributions à l'étude des céphalopodes paléocrétacés du Sud-Est de la France. *Mém. Cart. Géol. dét. France*. Paris.
- Nickles René (1894) Contributions à la Paléontologie du Sud-Est de l'Espagne. *Mém. pal. Soc. géol. France*, mém. 4, p. 31—59. Paris.
- Petkovič K. (1921) O barremskom katu na Grebenu. *Glas. Srp. kral. akad.* 95, 35—78. Beograd.
- Răileanu G. (1953) Cercetări geologice în regiunea Svinița—Fața Mare. *Bul. St. Acad. R.P.R., sect. St. Biol., Agronomie, Geol., Geogr.* V, 2, 307—409. București.
- (1960) Recherches géologiques dans la région Svinița—Fața Mare. *Ann. Com. Géol.* XXVI—XXVIII, 347—383. București.
- Roman F. (1938) Les Ammonites jurassiques et crétacées. Essai de genera. 554 p. Paris.
- Rouchadze J. (1933) Les Ammonites aptiennes de la Géorgie occidentale. *Bull. Inst. géol. Géorgie* I, 3, 165—273. Tiflis.
- Sarasin C. (1897) Quelques considérations sur les genres *Hoplites*, *Sonneratia*, *Desmoceras* et *Puzosia*. *Bull. Soc. géol. France* (3) XXV, 760—799. Paris.
- Schöndelmayer C. (1901) Etude monographique des Ammonites du Crétacé inférieur de Chatel Saint-Denis. *Mém. Soc. Paléont. Suisse* XXVIII, 91 p. Genève.
- Sayn G. (1890) Description des Ammonites du Barrémien du Djebel-Ouach (près Constantine). *Bull. Soc. Agric. Lyon* (6) III, 78 p. Lyon.
- Schloembach U. (1868) Kleine paläontologische Mittheilungen. *Jb. k.k. geol. Reichsanstalt* XVIII, 3, 455—468. Wien.
- Simionescu I. (1898) Studii geologice și paleontologice din Carpații Sudici. *Pub. fondului V. Adamachi*. II/1898 Fauna neocomliană din basenul Dimbovicloarel, 5—111. București.
- (1900) Synopsis des Ammonites néocomiennes (infravalanginien (Berriasien) — Aptien (Incl.)). *Ann. Univ. Grenoble* XII, 69 p. Grenoble.
- Tietze E. (1872) Geologische und paläontologische Mittheilungen aus dem südlichen Theil des Banater Gebirgslockes. *Jb. k.k. geol. Reichsanst.* XXII, 35—142. Wien.
- Uhlig V. (1883) Die Cephalopodenfauna der Wernsdorferschiechten. *Denkschr. k. Akad. Wissensch.* XLVI, II, 127—290. Wien.
- (1888) Ueber neocome Fossilien von Gardanazza in Südtirol, nebst einem Anhang über das Neocom von Ischl. *Jb. k.k. geol. Reichsanst.* XXXVII, 69—108. Wien.
- Vašíček Z. (1972) Ammonoidea of the Tesin-Hradište Formation (Lower Cretaceous) in the Moravskoslezské Beskydy Mts. *Rozpravi ustredniho ustavu geologickeho*, 38, 103 p. Praha.
- Wiedmann J. (1962) Unterkreide Ammoniten von Mallorca. I. *Lytocratina*, *Aptychi*. *Abh. Akad. Wiss. Lit. math.-naturwiss. Kl., Mainz*, 1, 148 p. Wiesbaden.
- (1966) Stammesgeschichte und System der posttriadischen Ammonoiten (Ein Überblick). *N. Jb. Geol. Paläont. Abh.*, 125 (Festband Schindewolf), 49—79; 127, 13—81. Stuttgart.
- Dienl I. (1968) Die Kreide Sardiniens und ihre Cephalopoden. *Palaeontographia Italica* LXIV (n.s. XXXIV) 171 p. Pisa.
- Wright C. W. (1957) Cretaceous ammonoid taxa. In R. Moore. *Treatise on invertebrate Palontology part. L, Mollusca 4. Cephalopoda, Ammonoidea*.

EXPLICATION DES PLANCHES

Planche I

Fig. 1, 2, 4-7. — *Melchiorites melchioris* (Tietze). 1 a-d, lectotype, collection de Tietze, Sammlung der geologische Reichsanstalt, Vienne (moule — IG P 14099); 2 a-d, le syntype figuré par Tietze (1872) dans la pl. IX, fig. 10, même collection (moule—IG P 14100); 4 a-b, 5, 6 a-c, 7, topotypes, sous-formation de Temeneacla, versant droit du ruisseau Morllor (fig. 4, 5, 6 = Vd2A, B²—IG P 14101 a, b, c) et le dernier affleurement du côté gauche du ruisseau Morllor (fig. 7 = V11—IG P 14102). Barrémien supérieur.

Fig. 3 a-d, — *Melchiorites* aff. *seguensae* (Coq.). L'exemplaire qui a offert la ligne cloisonnaire figurée par Uhlig (1883) dans la pl. XVII, fig. 12; collection de Tietze, Sammlung der geologische Reichsanstalt, Vienne (moule IG P 14103).

Planche II

Fig. 1-6. — *Pseudohaploceras tachthaltae* (Tietze). 1a-d, holotype, collection de Tietze, Sammlung der geologische Reichsanstalt, Vienne (moule IG P 14106); 2, 3, 4 a-b, 5 a-b, 6 a-b, topotypes, sous-formation de Temeneacla, versant du côté droit du ruisseau Morllor (fig. 2 = Vd2K; fig. 3, 5 = Vd2B — IG P 14109 a-c) et rive gauche du Danube à 150-200 m sud de l'embouchure du ruisseau Morllor (fig. 4 et 6 — IG P 14107 et respectivement IG P 14108). Barrémien supérieur.

Fig. 7-8. — *Pseudohaploceras portaeferreae* (Tietze). 7a-d, holotype, collection de Tietze, Sammlung der geologische Reichsanstalt, Vienne (moule IG P 14104); 8 a-b, topotype, sous-formation de Temeneacla, nouveau emplacement du village de Svlnija IG P 14105). Barrémien supérieur.

Planche III

Fig. 1-6. — ?*Barremites strettostoma* (Uhlig). 3a-d, lectotype, collection de Tietze, Sammlung der geologische Reichsanstalt, Vienne (moule IG P 14110); 4 a-d, l'exemplaire figuré par Tietze sous le nom de *Am. bicurvatus* dans la planche IX, fig. 5 (= *Haploceras strettostoma* Uhlig, 1883, pl. XVII, fig. 4), même collection (moule IG P 14111); 1, 2a-b, 5 a-c, 6 a-b, topotypes, sous-formation de Temeneacla: 1, ruisseau Ţiganllor (T8/6—IG P 14114); 2, 6, rive gauche du Danube à 150 m sud de l'embouchure du ruisseau Morllor (IG P 14113 a, b); 5, versant gauche du ruisseau Morllor (IG P 14112). Barrémien supérieur.

Planche IV

Fig. 1, 2. — *Costidiscus grebenianus* (Tietze). 1 a-d, lectotype, collection de Tietze, Sammlung der geologische Reichsanstalt, Vienne (moule IG P 14117); 2 a-b, topotype, sous-formation de Temeneacla, versant gauche du ruisseau Morllor (IG P 14118). Barrémien supérieur.

² Les symboles des niveaux fossilifères correspondent à ceux utilisés par Avram, 1976

- Fig. 3. — *Costidiscus* sp. (= *Am. grebentanus* Tietze, 1872, pl. VIII, fig. 8) collection de Tietze, Sammlung der geologische Reichsanstalt, Vienne.
- Fig. 4, 5. — *Protetragonites crebrisulcatus* (Uhlig). Topotypes, sous-formation de Temeneacia : 4 a-b, dernier affleurement du côté gauche du ruisseau Morilor (V11); 5 a-b, versant gauche de la même vallée (IG P 13713). Barrémien supérieur.
- Fig. 6, 7. — *Silesites seranonis trajani* (Tietze). 7 a-b, neotype, nouveau emplacement du village de Svințița (IG P 14116); 6 a-b, topotype, ruisseau Temeneacia (S4 = IG P 14115). Sous-formation de Temeneacia, Barrémien supérieur.

Excepté les exemplaires de la pl. III, fig. 1 ($\times 0,68$) et fig. 3 ($\times 2$), tous les autres spécimens sont figurés en grandeur naturelle.

